

# Scattering Cinematica Relativistica

## VII – Invarianti

(Quantita') invariante:

*Grandezza fisica che ha lo stesso valore in tutti i sistemi di riferimento.*

Esempi:

*Norma di un 4-vettore*

*Massa (a riposo) di una particella*

*Prodotto scalare di due 4-vettori*

Utili per trattare in modo abbreviato e semplice molti problemi di cinematica relativistica

# Decadimento in tre corpi - I

Cinematica piu' complicata rispetto al caso in due corpi:

Descrizione a mezzo di invarianti piu' conveniente

Riconsiderando il caso a 2 corpi:

Numero gradi di liberta' dello stato finale:

$3 \times 2 = 6$  componenti degli impulsi

Conservazione del 4-impulso totale:

$$P = p_1 + p_2 \rightarrow \begin{cases} E = E_1 + E_2 \\ \mathbf{p} = \mathbf{p}_1 + \mathbf{p}_2 \end{cases}$$

→ 4 relazioni di conservazione = 4 vincoli

→  $6 - 4 = 2$  gradi di liberta'

Es.: Nel CM, angoli di decadimento  $\theta^*$ ,  $\phi^*$

Angolo azimutale non significativo (di solito)

→ 1 sola variabile dinamicamente rilevante:  $\theta^*$

# Decadimento in tre corpi - II

3 particelle nello stato finale:

$3 \times 3 = 9$  Componenti impulso di 3 particelle

Conservazione del 4-impulso totale:

$$P = p_1 + p_2 + p_3 \rightarrow \begin{cases} E = E_1 + E_2 + E_3 \\ \mathbf{p} = \mathbf{p}_1 + \mathbf{p}_2 + \mathbf{p}_3 \end{cases}$$

→ 4 relazioni di conservazione = vincoli

→  $9 - 4 = 5$  gradi di liberta'

3 variabili non significative dinamicamente

(Es.: Orientamento della terna di assi nel CM (3 angoli) non rilevante)

→ 2 variabili dinamicamente significative

# Decadimento in tre corpi - III

Descrizione piu' ovvia in termini di invarianti:

$$m_{12}^2 = (p_1 + p_2)^2 = (E_1 + E_2)^2 - (\mathbf{p}_1 + \mathbf{p}_2)^2$$

$$\rightarrow m_{12}^2 = (E_1^2 + E_2^2 + 2E_1E_2) - (|\mathbf{p}_1|^2 + |\mathbf{p}_2|^2 + 2\mathbf{p}_1 \cdot \mathbf{p}_2)$$

$$\rightarrow m_{12}^2 = m_1^2 + m_2^2 + 2(E_1E_2 - \mathbf{p}_1 \cdot \mathbf{p}_2) \quad \text{Massa invariante di 1 e 2}$$

Con 3 particelle finali:

$$m_{12}, m_{13}, m_{23}$$

Non tutte indipendenti:

$$m_{12}^2 + m_{13}^2 + m_{23}^2 = m_1^2 + m_2^2 + m_3^2 + M^2$$

→ 2 masse invarianti (indipendenti) come gradi di liberta'

# Decadimento in tre corpi - IV

$$m_{12}^2 = (p_1 + p_2)^2 = (P - p_3)^2$$

$$m_{13}^2 = (p_1 + p_3)^2 = (P - p_2)^2$$

$$m_{23}^2 = (p_2 + p_3)^2 = (P - p_1)^2$$

Prendendo p. es. il caso 1-2:

$$m_{12}^2 = (p_1 + p_2)^2 = (P - p_3)^2 = P^2 + p_3^2 - 2P \cdot p_3$$

Nel CM della particella madre:

$$P = (M, 0)$$

$$\rightarrow m_{12}^2 = M^2 + m_3^2 - 2ME_3$$

$$\rightarrow m_{12}^2 \Big|_{\max} = M^2 + m_3^2 - 2Mm_3 = (M - m_3)^2$$

Nel CM delle particelle 1 e 2:

$$p_1 + p_2 = (E'_1 + E'_2, 0)$$

$$\rightarrow m_{12}^2 = (p_1 + p_2)^2 = (E'_1 + E'_2)^2 \geq (m_1 + m_2)^2$$

$$\rightarrow m_{12}^2 \Big|_{\min} = (m_1 + m_2)^2$$

Limiti cinematici  
alla regione di variabilita'

# Decadimento in tre corpi - V

Regioni di variabilita' delle 3 masse invarianti:

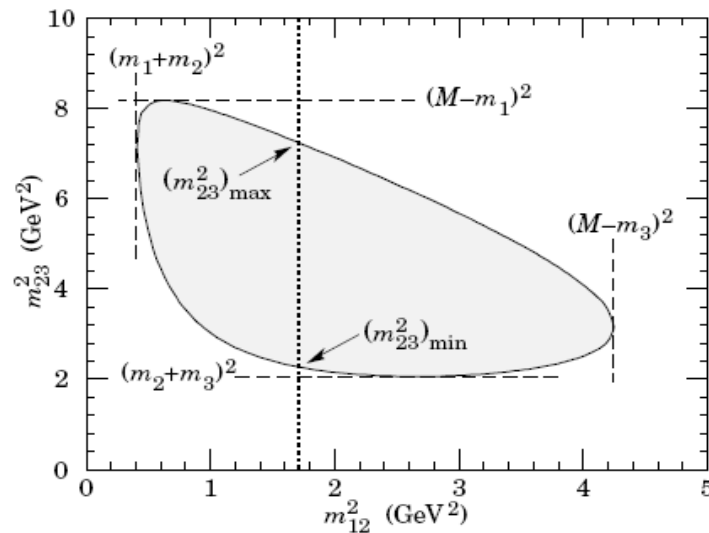
$$(m_1 + m_2)^2 \leq m_{12}^2 \leq (M - m_3)^2$$

$$(m_1 + m_3)^2 \leq m_{13}^2 \leq (M - m_2)^2$$

$$(m_2 + m_3)^2 \leq m_{23}^2 \leq (M - m_1)^2$$

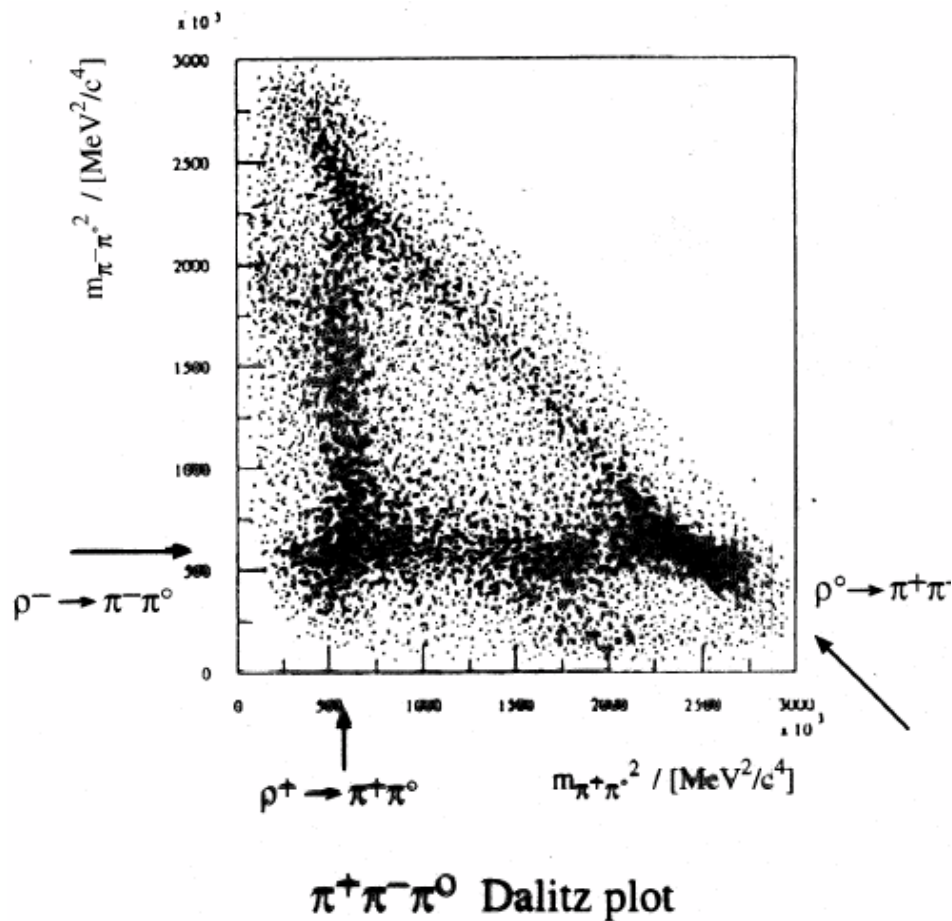
Considerando le prime 2 come indipendenti:

La regione accessibile del piano  $m_{12}^2, m_{13}^2$  non e' un rettangolo



# Dalitz plot - I

Modo di rappresentare le variabili dinamiche in una reazione con stato a finale 3 a corpi:

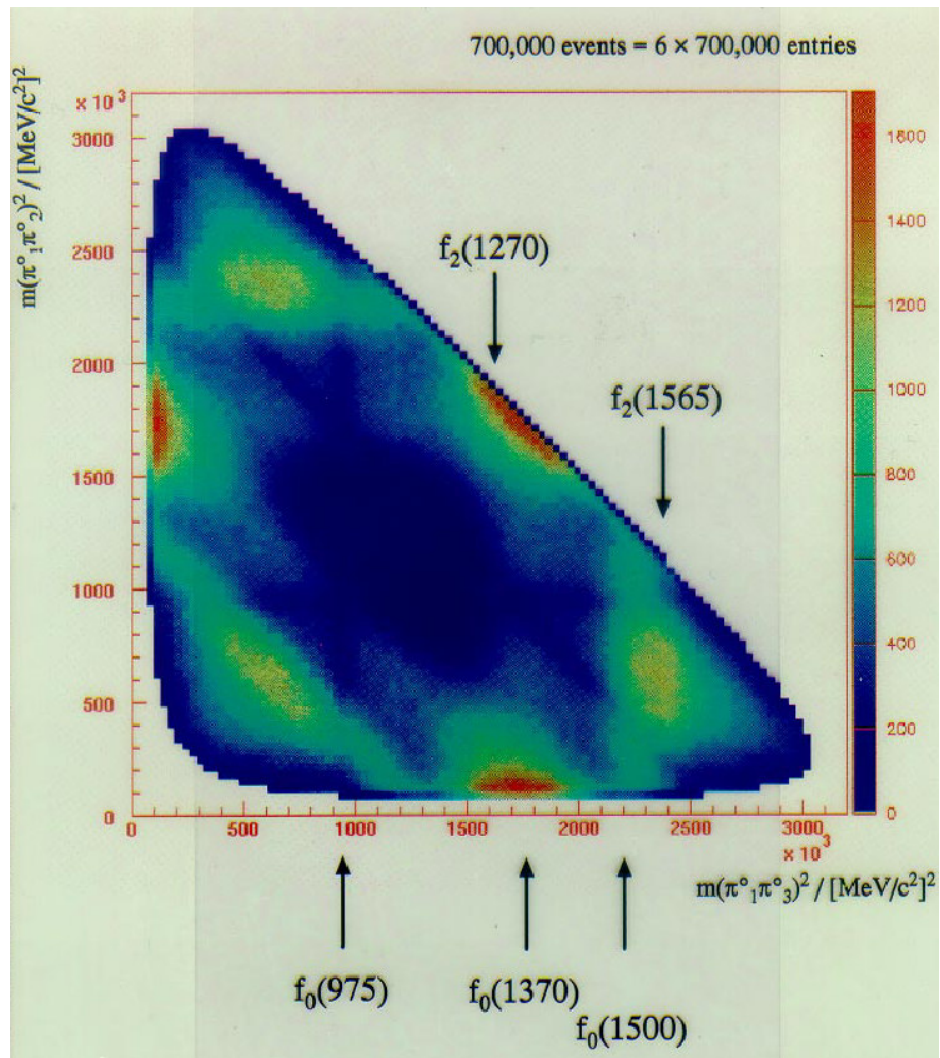


Ogni evento: un punto

Modo interessante per individuare la produzione di stati instabili (risonanze), che si individua dall'accumulo di eventi in certe regioni



# Dalitz plot - II



$$R \rightarrow \pi^0 \pi^0 \pi^0$$
$$M_R \sim 3 \text{ GeV}$$

Stato finale totalmente  
simmetrico nei tre pioni  
identici

# Reazioni a due corpi

Per la generica reazione a 2 corpi

$$1 + 2 \rightarrow 3 + 4$$

la conservazione del 4-impulso totale

$$p_1 + p_2 = p_3 + p_4$$

si puo' scrivere nelle componenti LAB (2 in quiete) oppure CM

	LAB						CM				
	$P$	$p_1$	$p_2$	$p_3$	$p_4$		$P$	$p_1$	$p_2$	$p_3$	$p_4$
E	$E_1+m_2$	$E_1$	$m_2$	$E_3$	$E_4$	$E^*$	$E^*_1+E^*_2$	$E^*_1$	$E^*_2$	$E^*_3$	$E^*_4$
$p_x$	0	0	0	$p_{x3}$	$p_{x4}$	$p_x^*$	0	0	0	$p_x^*$	$-p_x^*$
$p_y$	0	0	0	$p_{y3}$	$p_{y4}$	$p_y^*$	0	0	0	$p_y^*$	$-p_y^*$
$p_z$	$p_1$	$p_1$	0	$p_{z3}$	$p_{z4}$	$p_z^*$	0	$p^*$	$-p^*$	$p_z^*$	$-p_z^*$

# Invarianti utili - I

4-impulso totale:

$$P = p_1 + p_2 = p_3 + p_4$$

$$s = P^2 = (p_1 + p_2)^2 = (p_3 + p_4)^2$$

Tramite componenti nel CM:

$$\begin{cases} s = (E_1^* + E_2^*)^2 \\ s = (E_3^* + E_4^*)^2 \end{cases} \quad (\text{Energia totale nel CM})^2$$

Tramite componenti nel LAB:

$$s = m_1^2 + m_2^2 + 2m_2 E_1$$

$$s = m_3^2 + m_4^2 + 2(E_3 E_4 - \mathbf{p}_3 \cdot \mathbf{p}_4)$$

# Invarianti utili - II

4-impulso trasferito n.1:

$$q = p_1 - p_3$$

$$t = q^2 = m_1^2 + m_3^2 - 2(E_1 E_3 - \mathbf{p}_1 \cdot \mathbf{p}_3)$$

$$t = m_1^2 + m_3^2 - 2(E_1^* E_3^* - \mathbf{p}^* \cdot \mathbf{p}'^*)$$

4-impulso trasferito n.2:

$$r = p_1 - p_4$$

$$u = r^2 = m_1^2 + m_4^2 - 2(E_1 E_4 - \mathbf{p}_1 \cdot \mathbf{p}_4)$$

$$u = m_1^2 + m_4^2 - 2(E_1^* E_4^* + \mathbf{p}^* \cdot \mathbf{p}'^*)$$

# Invarianti utili - III

$$E_1 = \frac{1}{2m_2} (s - m_1^2 - m_2^2)$$

$$p_1 = \frac{1}{2m_2} \lambda^{1/2} (s, m_1^2, m_2^2)$$

$$p^* = p_1 \frac{m_2}{\sqrt{s}}$$

$$E_{1,2}^* = \frac{1}{\sqrt{s}} (m_{1,2}^2 + m_2 E_1)$$

$$\cos \theta_3 = \frac{1}{|\mathbf{p}_1| |\mathbf{p}_3|} \left[ \frac{1}{2} (t - m_1^2 - m_3^2) + E_1 E_3 \right]$$

$$\cos \theta_3^* = \frac{1}{|\mathbf{p}^*| |\mathbf{p}'^*|} \left[ \frac{1}{2} (t - m_1^2 - m_3^2) + E_1^* E_3^* \right]$$

# Invarianti utili - IV

Relazione fondamentale per i processi a 2 corpi:

$$s + t + u = m_1^2 + m_2^2 + m_3^2 + m_4^2$$

Due sole grandezze indipendenti: spesso utilizzate  $s$  e  $t$

Ampiezza di transizione: funzione delle variabili dinamiche  
Possibile esprimerla come funzione di  $(s, t)$

# Energia di soglia

$\sqrt{s}$  : quantita' molto importante nel caso di reazioni con produzione di particelle

En. totale nel CM minima perche' possa avvenire una data reazione, con produzione di  $n$  particelle di masse a riposo  $m_1, m_2, \dots, m_n$ :

$$\sqrt{s} \geq \sum_{i=1}^n m_i \quad \text{Energia di soglia per la reazione}$$

Soglia per  $\sqrt{s}$   $\rightarrow$  Soglia per  $p_{LAB}$

# Collider (simmetrici)

Stato iniziale della collisione

$$s = (E_1^* + E_2^*)^2 = m_1^2 + m_2^2 + 2m_2 E_1$$

Confronto fra bersaglio fisso e collider:  
Stessa energia di fascio

LAB  $\simeq$  CM per un collider simmetrico

$$s_{\text{bersaglio fisso}} = m_1^2 + m_2^2 + 2m_2 E_{\text{fascio}} \xrightarrow[\text{Alta energia}]{} \sqrt{s} \approx \sqrt{2m_2 E_{\text{fascio}}}$$

$$s_{\text{collider simmetrico}} = (E_{\text{fascio}} + E_{\text{fascio}})^2 = (2E_{\text{fascio}})^2 \rightarrow \sqrt{s} = 2E_{\text{fascio}}$$

Quindi: a parita' di energia di fascio, l'en. totale nel CM cresce con  $\frac{\sqrt{E}}{E}$

Evidente vantaggio con il collider

Problema principale: Luminosita' elevata difficile da ottenere



# Collider (asimmetrici)

Diversa energia dei due fasci

4-impulso totale:

$$P = p_1 + p_2$$

$$p_1 = (E_1, \mathbf{p}_1), p_2 = (E_2, \mathbf{p}_2)$$

$$P = (E_1 + E_2, \mathbf{p}_1 + \mathbf{p}_2)$$

$$s = P^2 = (E_1 + E_2)^2 - (\mathbf{p}_1 + \mathbf{p}_2)^2$$

Se  $m \ll E$ :

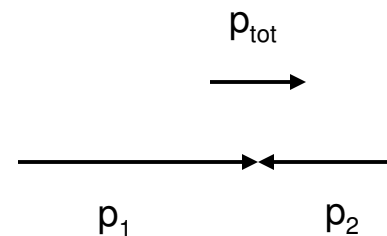
$$s \simeq 2(E_1 E_2 - \mathbf{p}_1 \cdot \mathbf{p}_2) = 4E_1 E_2 \rightarrow \sqrt{s} = 2\sqrt{E_1 E_2}$$

$$|\mathbf{p}| = |\mathbf{p}_1 + \mathbf{p}_2| = |\mathbf{p}_1| - |\mathbf{p}_2| = E_1 - E_2$$

$$E = E_1 + E_2$$

$$\rightarrow \beta_{CM} = \frac{E_1 - E_2}{E_1 + E_2} \quad \text{Il CM si muove nel LAB}$$

Vantaggio decisivo nello studio delle simmetrie delle int. deboli



# Dalitz plot e reazioni

Reazione:

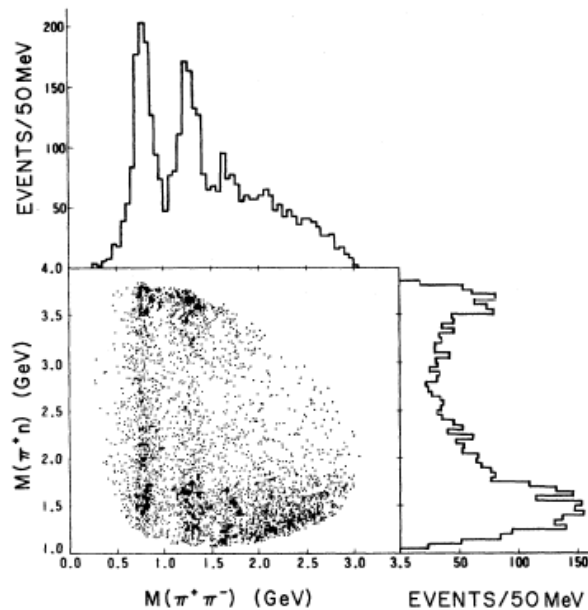
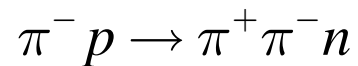


FIG. 2. Scatter plot of  $M(\pi^+\pi^-)$  versus  $M(\pi^+n)$  with the projections on both axes.

Utile per mettere in evidenza la produzione di *stati risonanti*